

УДК 534.1

## РАСЧЕТ ПЕРИОДИЧЕСКИХ ДВИЖЕНИЙ В ЗАДАЧЕ ЗОММЕРФЕЛЬДА О ВЗАИМОДЕЙСТВИИ МЕХАНИЧЕСКИХ СИСТЕМ С ДВИГАТЕЛЕМ ОГРАНИЧЕННОЙ МОЩНОСТИ

© Александр Михайлович Гуськов<sup>1)</sup>, Григорий Яковлевич Пановко<sup>2)</sup><sup>1)</sup>Московский государственный технический университет имени Н.Э. Баумана<sup>2)</sup>Федеральное государственное бюджетное учреждение науки

Институт машиноведения им. А.А. Благонравова РАН

gouskov\_am@mail.ru; gpanovko@yandex.ru

**Аннотация.** Проводится численный анализ периодических режимов движения механической системы, взаимодействующей с электрическим двигателем ограниченной мощности. Рассмотрены вопросы, связанные с проявлением эффекта Зоммерфельда, дано подробное описание ряда механических явлений.

**Ключевые слова:** упруго-вязкая опора, колебательная система, уравнения движения с учетом свойств привода, параметрическое возбуждение, динамическая неустойчивость, бифуркационный анализ.

**Расчетная модель** рассматриваемой системы представлена на рис. 1, где схематично изображена платформа с установленным на ней электродвигателем с неуравновешенным ротором [1 - 3]. Горизонтальное перемещение платформы по идеальному основанию ограничено линейной упруговязкой опорой. Движение системы будем рассматривать относительно неподвижной системы координат  $Oxy$  (рис. 1), начало которой совмещено с положением статического равновесия общего центра масс платформы и электродвигателя, причем вертикальная ось  $Oy$  совпадает с направлением вектора сила тяжести.

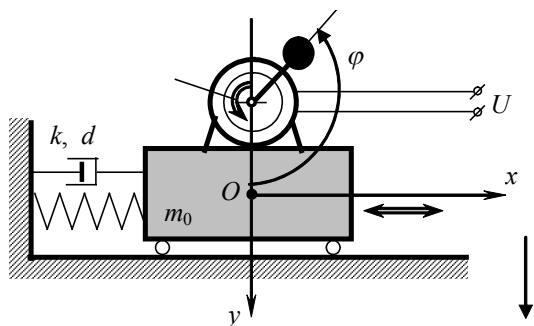


Рис. 1

Горизонтальное смещение платформы описывается координатой  $x$ , а угол  $\varphi$  поворота ротора электродвигателя отсчитывается против часовой стрелки от положительного направления вертикальной оси  $Oy$  (рис. 1).

Движущий (вращающий) момент  $M_e(i)$  электродвигателя (для определенности – постоянного тока) зависит от силы тока  $i$  в обмотке якоря, который определяется законом Кирхгофа [2, 4].

С учетом сделанных предположений полная система уравнений, описывающих движение системы и силу тока в цепи обмотки якоря электродвигателя, может быть представлена в виде:

$$\begin{aligned} m\ddot{x} + b\dot{x} + kx &= -m_e e [\ddot{\varphi} \cos \varphi - (\dot{\varphi})^2 \sin \varphi]; \\ (J + m_e e^2) \ddot{\varphi} + m_e e (\ddot{x} \cos \varphi + g \sin \varphi) &= M_e(i) - M_c; \\ L \frac{di}{dt} + iR + K\dot{\varphi} &= U, \end{aligned} \quad (1)$$

где  $m = m_0 + m_e$  – полная масса системы;  $m_0$  – масса платформы с электродвигателем;  $m_e$  – масса ротора;  $b$  и  $k$  – коэффициенты демпфирования и жесткости упруговязкой опоры;  $e$  – расстояние от оси вращения ротора до его центра масс (эксцентриситет);  $J$  – центральный момент инерции ротора;  $M_e = Ki$  – движущий момент электродвигателя;  $K$  – постоянная э.д.с. двигателя;  $U$  – напряжение, приложенное к обмотке якоря;  $L$  и  $R$  – индуктивность и сопро-

тивление обмотки якоря;  $M_c$  – момент сопротивления вращению ротора двигателя;  $g$  – ускорение силы тяжести.

Отметим одну важную особенность системы уравнений (1): ее решения зависят от напряжения  $U$ , подаваемого на электродвигатель, которое является *управляющим воздействием (параметром)*, причем горизонтальные колебания платформы можно рассматривать как *параметрическое возбуждение* колебаний угловой скорости ротора, считая ее независимой переменной.

В *нерезонансных* областях амплитуды колебаний твердого тела (платформы) незначительны и их воздействие на угловую скорость ротора также незначительно. В *резонансной* области картина развития колебаний существенно меняется: амплитуды колебаний твердого тела увеличиваются, и частота вращения ротора может резко изменяться. Это скачкообразное изменение частоты приводит и скачкообразному изменению амплитуды и частоты колебаний самого тела (*эффект Зоммерфельда*) [5]. Тем самым в системе проявляется *динамическая неустойчивость* периодических режимов движения. Отметим, что в системах с ограниченным возбуждением могут наблюдаться не только скачкообразное изменение амплитуд и частот колебаний, но, в ряде случаев, при недостаточной мощности двигателя и невозможность преодоления резонанса.

При исследовании колебаний в системах с приводом ограниченной мощности свойства привода довольно часто представляют в упрощенном виде, считая в первом приближении, что  $\frac{di}{dt} \approx 0$ . Тогда из последнего уравнения системы (1) следует:

$$i = \frac{U - K\dot{\phi}}{R}. \quad (2)$$

С учетом (2) движущий момент  $M_e = Ki$  во втором уравнении системы (1) представляет собой *статическую* характеристику двигателя

$$\begin{aligned} M_e &= M_0 - M_1\dot{\phi}, \\ M_0 &= \frac{UK}{R}, \quad M_1 = \frac{K_2}{R}, \end{aligned} \quad (3)$$

т.е. связь между моментом и угловой скоростью при отсутствии нагрузки на ротор двигателя.

Обычно решение системы (1) с учетом (3) сводят к нахождению периодических режимов движения методами возмущений в виде зависимости координаты  $x$  от средней угловой скорости  $\overline{d\phi/dt}$  ротора вблизи основного резонанса и анализу их устойчивости [1-3]. Тем самым из рассмотрения «выпадает» роль *истинного управляющего параметра – напряжения электрического тока*, определяющего поведение фазовых переменных системы (1), что ограничивает анализ движений *всех* подсистем и устойчивость получаемых периодических решений. В результате получаемое решение обладает рядом дефектов:

1. Создается ложное представление об угловой скорости вращения ротора, как о независимой переменной.

2. Не удается в естественном виде представить бифуркационную картину потери устойчивости периодических движений динамической системы и выявить тип имеющих место бифуркаций.

В настоящем работе задача о нахождении периодических движений платформы и ротора и анализ их устойчивости решается *в зависимости от параметра управления* (напряжения  $U$  в цепи возбуждения электродвигателя) численно методом продолжения по параметру, где в качестве параметра рассматривается дуга в четырехмерном пространстве – три начальных условия и управляющий параметр [6].

Приведем уравнения системы (1) при учете статической характеристики (3) к безразмерному виду, используя безразмерное время  $\tau = t/T_*$  ( $T_* = \sqrt{m/k}$ ) и безразмерное перемещение  $\xi = x/X_*$ ,  $X_* = \sqrt{(J + m_e e^2)/m}$ :

$$\begin{aligned} \xi'' + 2\zeta\xi' + \xi &= -E[\varphi'' \cos \varphi - (\varphi')^2 \sin \varphi]; \\ \varphi'' + E[\xi'' \cos \varphi + \beta \sin \varphi] &= \Gamma - \gamma_c, \end{aligned} \quad (4)$$

где  $(...)' = d(...)/d\tau$  – производные по безразмерному времени  $\tau$ ;  $E = (m_e e)/(mX_*)$  – эксцентриситет ротора;  $\zeta = b/(2kT_*)$  – нормированный коэффициент линейного демпфирования;  $\beta = gT_*^2/X_*^2$  – вес ротора;  $\Gamma = \gamma_0(u - \varphi'/\omega_0)$  – движущий момент двигателя;  $(\gamma_0 u) = KU/kRX_*^2$  – максимальный момент, создаваемый электродвигателем;  $\gamma_c = M_c/kX_*^2$  – постоянный момент сопротивления вращения ротору двигателя;  $(u\omega_0)$  – круговая частота вращения электродвигателя без нагрузки,  $\omega_0 = \Omega_0 T_*$ .

Используя обозначения  $v \doteq \xi'$ ,  $\omega \doteq \varphi'$ , разрешим уравнения (4) относительно переменных  $\{v', \omega'\}$ :

$$\begin{aligned} v' &= P_v, & P_v &= \frac{1}{D}(Q_\xi - EQ_\varphi \cos \varphi); \\ \omega' &= P_\omega, & P_\omega &= \frac{1}{D}(-EQ_\xi \cos \varphi + Q_\varphi), \end{aligned} \quad (5)$$

где  $D = 1 - E^2 \cos^2 \varphi$ ,  $Q_\xi = -\xi - 2\zeta v + E\omega^2 \sin \varphi$ ,  $Q_\varphi = -\beta E \sin \varphi + \gamma_0(u - \omega/\omega_0) - \gamma_c$ .

Вводя обозначения

$$\begin{pmatrix} x_1 \\ x_2 \\ x_3 \\ x_4 \end{pmatrix} \doteq \begin{pmatrix} \xi \\ \varphi \\ v \\ \omega \end{pmatrix} \Rightarrow \mathbf{x}' = \mathbf{f}(\mathbf{x}), \quad (6)$$

где

$$\mathbf{x} = \{x_1, x_2, x_3, x_4\}^T, \quad \mathbf{f} = \{x_3, x_4, P_v, P_\omega\}^T, \quad (7)$$

уравнения (5) приводятся к нормальной форме Коши.

Уравнения (6) и (7) описывают нелинейную (автономную) динамику горизонтальных движений платформы с установленным на ней вращающимся неуравновешенным ротором, приводимым в движение электродвигателем с ограниченной мощностью. Мощность электродвигателя определяется, как  $N_u = \Gamma\omega = \gamma_0(u - \omega/\omega_0)\omega$  и достигает своего максимума  $N_{u\max} = (\gamma_0 u)(u\omega_0)/4$  при частоте вращения, равной  $\omega = u\omega_0/2$ . Таким образом, для описания динамики платформы необходимо задать семь безразмерных параметров

$$E, \zeta, \beta, \gamma_c, \gamma_0, \omega_0, u \quad (8)$$

и четыре начальных условия

$$\xi(0), \varphi(0), v(0), \omega(0). \quad (9)$$

**Бифуркационный анализ.** Численное решение строится с помощью метода установления последовательного нагружения [6] по параметру возбуждения – напряжения тока  $u$  в обмотке якоря при  $E = 0,1$ ;  $\beta = 0,5$ ;  $\gamma_c = 0,05$ ;  $\gamma_0 = 0,5$ ;  $\omega_0 = 5$  для двух различных значений параметра демпфирования  $\zeta$ .

На рис. 2 приведены бифуркационные диаграммы последовательных экстремумов (отображение Пуанкаре - *а* и интервалы времени - *б*) положения платформы  $\text{Extr}[\xi]$  и угловой скорости ротора  $\text{Extr}[\omega]$ . Как видно из приведенных рисунков в интервалах  $0,1900 < u < 0,1925$  и  $0,3700 < u < 0,3725$  происходит скачкообразное изменение уровня и вида вибраций платформы и угловой скорости ротора. На участке  $u < 0,1900$  вибрации не возбуждаются: ротор и платформа остаются неподвижными. На участке  $0,1925 < u < 0,3700$  происходит медленный рост средней круговой частоты вращения ротора от  $\bar{\omega} \approx 0,5$  до  $\bar{\omega} \approx 1$ . При  $u > 0,3725$  происходит рост частоты вращения ротора пропорционально уровню возбуждения.

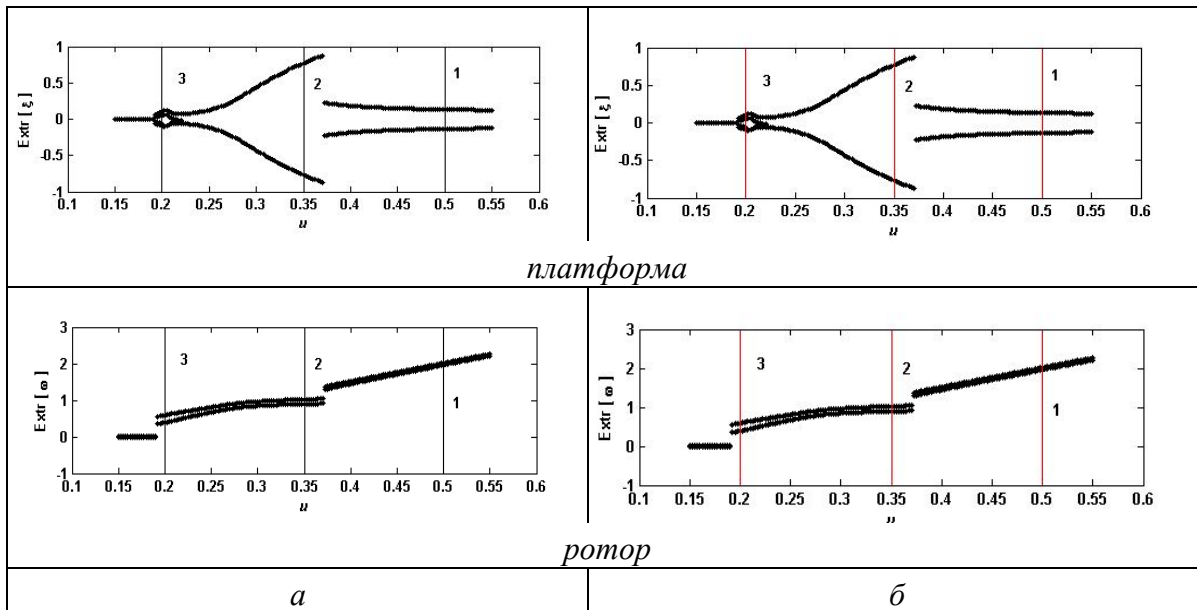


Рис. 2

**Анализ  $2\pi$ -периодических движений.** Для вычисления периодических движений системы за один полный оборот ротора двигателя (при его вращении без остановок) целесообразно от безразмерного времени  $\tau$  перейти к новой независимой переменной – углу поворота ротора  $\varphi$ . Тогда при замене  $\tau \rightarrow \varphi$ :

$$\frac{d(\dots)}{d\tau} = \frac{d\varphi}{d\tau} \frac{d(\dots)}{d\varphi}; \quad \omega = \frac{d\varphi}{d\tau}. \quad (10)$$

Используя обозначения  $y_1 \doteq x_1 = v$ ,  $y_2 \doteq x_2 = \xi$ ,  $y_3 \doteq x_3 = \omega$ , уравнения движения принимают вид:

$$\begin{aligned} \mathbf{y}^* &= \mathbf{R}(\varphi, \mathbf{y}, u, \dots); \quad \varphi \in (0, \infty); \quad \mathbf{y} \in \mathcal{R}^3, \\ \tau^* &= y_3^{-1}; \\ \mathbf{y}(0) &= \mathbf{y}_0, \quad \tau(0) = 0, \end{aligned} \quad (11)$$

где

$$(\dots)^* = \frac{d(\dots)}{d\varphi}, \quad \mathbf{y} = \begin{Bmatrix} y_1 \\ y_2 \\ y_3 \end{Bmatrix}, \quad \mathbf{R} = \frac{1}{y_3} \begin{Bmatrix} P_v \\ y_1 \\ P_\omega \end{Bmatrix}. \quad (12)$$

При этом правые части  $\mathbf{R}(\varphi, \mathbf{y}; u, \dots)$  явным образом зависят от независимой переменной  $\varphi$  через  $2\pi$ -периодические тригонометрические функции  $\cos\varphi$ ,  $\sin\varphi$ , которые в соответствии с (5) будут иметь вид:

$$P_v = \frac{1}{D}(Q_\xi - EQ_\varphi \cos \varphi); \quad P_\omega = \frac{1}{D}(-EQ_\xi \cos \varphi + Q_\varphi), \quad (13)$$

где

$$Q_\xi = -y_2 - 2\zeta y_1 + Ey_3^2 \sin \varphi; \quad Q_\varphi = -\beta E \sin \varphi + \gamma_0(u - y_3/\omega_0) - \gamma_c; \quad D = 1 - E^2 \cos^2 \varphi.$$

Выбор новой независимой переменной позволяет сократить размерность задачи при вычислении периодических движений.

**Устойчивость  $2\pi$ -периодических движений.** Пусть для некоторых начальных условий  $y_0 = \mathbf{a}$  существует частное периодическое решение системы (11), которое запишем в виде:

$$\Psi(\varphi; \mathbf{a}; u) : \Psi(0, \mathbf{a}, u) = \mathbf{a}; \quad \Psi(\varphi, \mathbf{a}, u)^* = \mathbf{R}(\varphi, \Psi(\varphi; \mathbf{a}; u), u, \dots); \quad \Psi(2\pi, \mathbf{a}, u) = \mathbf{a}. \quad (14)$$

Устойчивость периодических движений исследуется методом Флоке – Ляпунова для уравнений в вариациях

$$\mathbf{y} = \Psi + \delta \mathbf{y} : \delta \mathbf{y}^* = \mathbf{A}(\varphi, \Psi; u) \delta \mathbf{y}, \quad \delta \mathbf{y}(0) = \delta \mathbf{y}_0$$

$$\mathbf{A}(\varphi, \Psi; u) = \frac{1}{D\psi_3} \begin{vmatrix} -2\zeta & -1 & (2E\psi_3 \sin \varphi + E \frac{\gamma_0}{\omega_0} \cos \varphi) - \frac{S_v}{\psi_3} \\ D & 0 & -D \frac{\psi_1}{\psi_3} \\ 2\zeta E \cos \varphi & E \cos \varphi & (-2E^2 \psi_3 \cos \varphi \cdot \sin \varphi - \frac{\gamma_0}{\omega_0}) - \frac{S_\omega}{\psi_3} \end{vmatrix}$$

$$S_v = Q_\xi - EQ_\varphi \cos \varphi; \quad S_\omega = -EQ_\xi \cos \varphi + Q_\varphi,$$

$$Q_\xi = -\psi_2 - 2\zeta \psi_1 + E\psi_3^2 \sin \varphi; \quad Q_\varphi = -\beta E \sin \varphi + \gamma_0(u - \psi_3/\omega_0) - \gamma_c$$

Изложенный алгоритм был положен в основу численного расчета амплитудных и частотных зависимостей от напряжения  $u$  постоянного тока (рис. 3 и 4).

### Анализ полученных результатов

На амплитудной (для платформы) кривой  $A_\xi(u)$  наблюдаются несколько (при заданных параметрах и выбранного разрешения – три) резонансных состояния, соответствующих основному резонансу  $\omega \approx \omega_\xi = 1$  и субгармоническим колебаниям системы с частотой  $\omega \approx \omega_\xi/n$ ,  $n = 2, 3$  ( $\omega_\xi$  - собственная частота платформы при невращающемся роторе). Здесь же на рис. 3,б представлена «традиционная» амплитудная зависимость  $A_\xi(\omega_{\text{mean}})$  от усредненной за период частоты вращения ротора  $\omega_{\text{mean}}$ . В данной системе резонансы типа  $\omega = \omega_\xi/n$  можно трактовать как параметрические резонансы (так как в коэффициенты системы уравнений (11) независимая переменная  $\varphi$  входит в виде  $\cos 2\varphi$ ,  $\sin 2\varphi$ ). На частотной зависимости  $\omega(u)$  видны гистерезисы, соответствующие скачкам угловой скорости ротора вблизи основного резонанса  $\omega_\xi = 1$  и дополнительных – вблизи  $\omega = 1/2$ ,  $\omega = 1/3$ .

В резонансных областях амплитудных и частотных зависимостей наблюдаются неустойчивые режимы (участки ветвей, выделенные красным цветом). Область вблизи основного резонанса амплитудной зависимости, соответствующей случаю  $\zeta = 0,02$ , в увеличенном масштабе представлена на рис. 4, где видно, что в интервале изменения напряжения, ограниченном вертикальными прямыми возникают два неустойчивых состояния. Полученный результат принципиально отличается от традиционных решений, при которых выявляется существование двух устойчивых и только одного неустойчивого режима. Это связано с тем, что в данной системе реализуется не только бифуркация типа «предельная точка», когда

наибольший по модулю мультипликатор  $\mu = +1$ , ( $|\mu_k| < 1$ ,  $k = 2,3$ ), но также реализуется субкритическая бифуркация Неймарка – Саккера, при которой появляются два комплексно сопряженных мультипликатора  $\mu_{1,2} = \exp(\pm i\Theta)$ ,  $\Theta \in (0, \pi)$ , ( $\mu_3 \in (-1, +1)$ ).

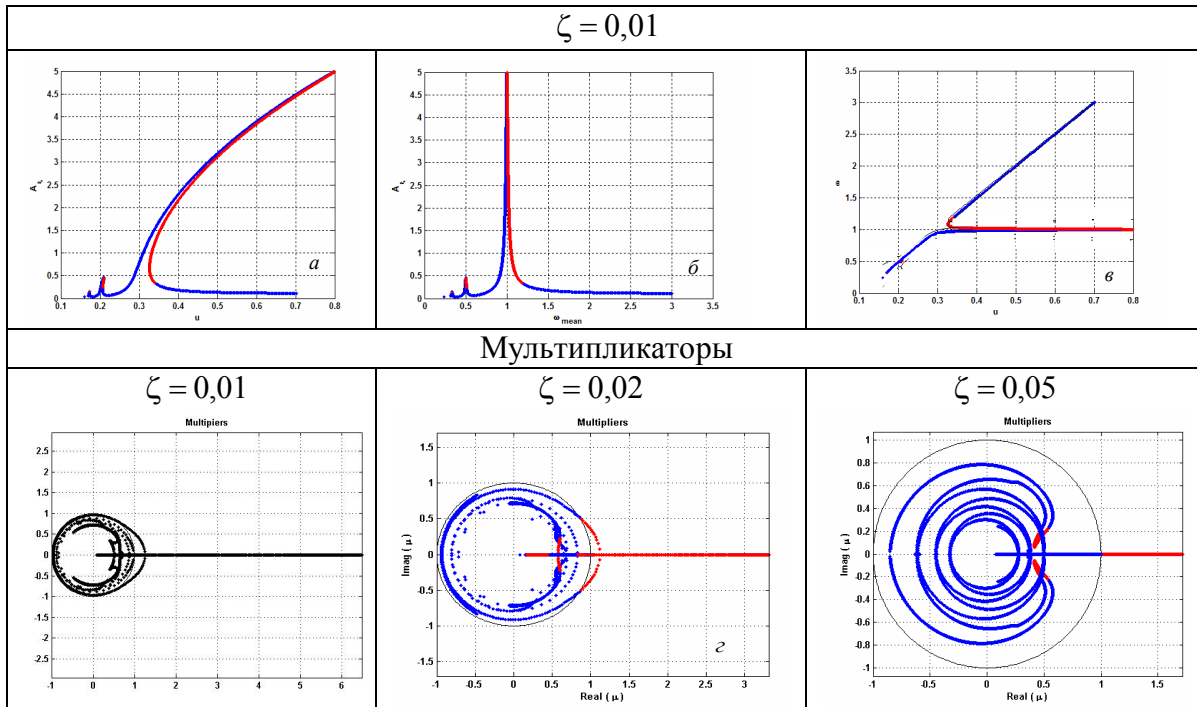


Рис. 3

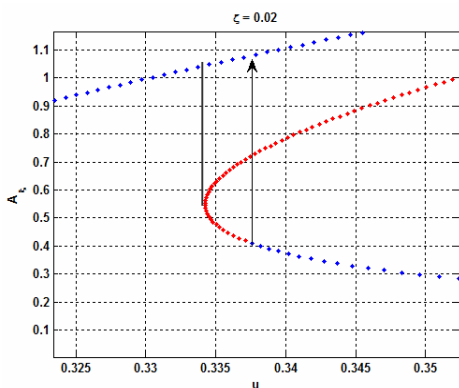


Рис. 4

Отметим, что с увеличением демпфирования область существования двух неустойчивых режимов уменьшается и существует «критическое по устойчивости» значение параметра демпфирования, при котором бифуркация Неймарка – Саккера исчезает, что соответствует слиянию двух комплексно сопряженных мультипликаторов в точке +1.

Переход мультипликаторов за единичную окружность происходит не только в точке  $\mu = +1$ , но и в точках  $\mu = \exp(\pm i\Theta)$ . В случае «большого» демпфирования  $\zeta = 0,05$  наблюдается только один тип бифуркации  $\mu = +1$ .

### Литература

1. Блехман И.И. Вибрационная механика. – М.: Физмалит, 1994. – 400 с.
2. Кононенко В.О. Колебательные системы с ограниченным возбуждением. – М.: Наука, 1964. – 324 с.
3. Пановко Я.Г., Губанова И.И. Устойчивость и колебания упругих систем. – М.: Наука, 1979. – 384 с.
4. Волкова Л.Ю., Лупехина И.В., Пановко Г.Я., Яцун С.Ф. Исследование динамики вибрационного инструмента при его взаимодействии с обрабатываемой средой. Машиностроение и инженерное образование. 2010, №4(25), с. 43-52.

5. Sommerfeld A. Zur Hydrodynamischen Theorie der Schmiermittelreibung, Zeitschrift für Mathematik und Physik, 1904, Vol. 50, pp. 97-155.
6. Seydel R. Practical Bifurcation and Stability Analysis. Springer – Verlag New York, Ink. 1994. – 407 p.

*Поступила: 02.04.12.*